

## ВЕРТИКАЛЬНОЕ ВДАВЛИВАНИЕ ЖЕСТКОГО ШЕРОХОВАТОГО ШТАМПА В ПЛАСТИЧЕСКИ НЕОДНОРОДНОЕ ОСНОВАНИЕ

Докт. техн. наук А. С. СТРОГАНОВ<sup>1</sup>

**Реферат.** Даётся точное численное решение задачи теории пластичности о несущей способности пластически неоднородного основания в нестабилизированном состоянии под жестким шероховатым штампом при вертикальном вдавливании, что имеет место, например, при достаточно быстром нагружении фундамента, основанием которого служат глинистые грунты, илы и торфы, обладающие низкими значениями коэффициента консолидации и линейной пластической неоднородностью, хорошо подтверждено экспериментально испытаниями лопастным зондом.

Рассмотрим задачу о несущей способности пластически неоднородного основания в нестабилизированном состоянии при вертикальном вдавливании жесткого шероховатого штампа, как это имеет место при достаточно быстром нагружении фундамента на водонасыщенных глинистых грунтах, илах и торфах, обладающих низкими значениями ( $\leq i \cdot 10^7$  см/год) коэффициента консолидации.

Положим, что грунт основания, находящийся в нестабилизированном состоянии, когда силы трения от внешней нагрузки не реализуются (мгновенное нагружение), подчиняется условию пластической неоднородности (Строганов, 1970):

$$|\tau_n| = (H + q + \gamma y) \operatorname{tg} \rho, \quad (1)$$

где  $H$  — гидростатическое давление, эквивалентное начальному сцеплению грунта;  $q$  — пригрузка на поверхности основания;  $\gamma$  — объемный вес полностью водонасыщенного грунта во взвешенном или не во взвешенном состояниях в зависимости от положения уровня грунтовых вод;  $y$  — расстояние от поверхности основания до рассматриваемой точки;  $\rho$  — приведенный угол внутреннего трения грунта, определяемый в условиях плоской деформации (Строганов, 1965).

В условии (1) принят гидростатический закон распределения напряжений от пригрузки и собственного веса. Предполагается, что параметры прочности  $H$  и  $\rho$  в условии (1) определяются на основании трехосных испытаний грунта в полностью стабилизированном состоянии (Sorokina and Stroganov, 1971) или на основании испытаний грунта на срез также в полностью стабилизированном состоянии. Одновременно с этим могут быть использованы результаты полевых испытаний грунта лопастным зондом, которые выражаются так:

<sup>1</sup> Старший научный сотрудник Научно-исследовательского института оснований и подземных сооружений, Москва.

$$|\tau_n| = K_0 + Ky, \quad (2)$$

где  $K_0$  и  $K$  определяются линейным выравниванием экспериментальной эпюры ( $\tau_n$ ), полученной по глубине зондирования. Трапецидальный характер эпюры ( $\tau_n$ ) хорошо подтвержден всеми имеющимися результатами зондирования, из которых могут быть отмечены, например, исследования (Cadling, Odenstad), проведенные на больших глубинах в водонасыщенных глинах практически одинаковой плотности.

Нетрудно видеть, что коэффициенты уравнения (2) могут быть выражены через величины, входящие в условие (1), следующим образом:

$$K_0 = (H + q)\operatorname{tg}\rho \text{ и } K = \gamma\operatorname{tg}\rho, \quad (3)$$

откуда, зная величину  $\gamma$ , легко получить значение  $\operatorname{tg}\rho$ , а также  $H$  при заданной величине пригрузки  $q$ , если таковая выдерживалась длительное время, достаточное для полной консолидации основания.

Компоненты напряжения, удовлетворяющие условию (1), могут быть представлены так (Строганов, 1970):

$$\left. \begin{aligned} \sigma_x \\ \sigma_y \end{aligned} \right\} = \sigma \pm (H + q + \gamma y)\operatorname{tg}\rho \cdot \cos 2\chi, \quad \left. \begin{aligned} \tau_{xy} = (H + q + \gamma y)\operatorname{tg}\rho \cdot \sin 2\chi, \end{aligned} \right\} \quad (4)$$

где  $\chi$  — угол наклона к оси  $x$  максимального главного нормального напряжения.

При  $\rho=0$  уравнения (4) переходят в уравнения для идеально пластической среды (Соколовский, 1960).

Внося (4) в уравнения равновесия

$$\frac{\partial \sigma_x}{\partial x} + \frac{\partial \tau_{xy}}{\partial y} = 0, \quad \frac{\partial \tau_{xy}}{\partial x} + \frac{\partial \sigma_y}{\partial y} = \gamma, \quad (5)$$

получим основную систему уравнений гиперболического типа:

$$\left. \begin{aligned} \frac{\partial \sigma}{\partial x} + 2(H + q + \gamma y)\operatorname{tg}\rho \frac{\partial \chi}{\partial x} + \left[ \frac{\partial \sigma}{\partial y} + 2(H + q + \gamma y)\operatorname{tg}\rho \frac{\partial \chi}{\partial y} \right] \operatorname{tg}\left(\chi \mp \frac{\pi}{4}\right) = -\gamma \operatorname{tg}\rho + \gamma \operatorname{tg}\left(\chi \mp \frac{\pi}{4}\right). \end{aligned} \right\} \quad (6)$$

Воспользовавшись, например, обычным детерминантным методом, получим для системы (6) два семейства дифференциальных уравнений характеристик поля напряжений

$$dy = \operatorname{tg}\left(\chi \mp \frac{\pi}{4}\right) d\chi, \quad d\sigma \mp 2(H + q + \gamma y)\operatorname{tg}\rho d\chi = -\gamma \operatorname{tg}\rho dx + \gamma dy. \quad (7)$$

Нетрудно показать, что в рассматриваемом случае дифференциальные уравнения характеристик поля скоростей совпадают с таковыми для поля напряжений, как это имеет место в теории идеально пластических сред.

Заметим, что полученные уравнения описывают пластически неоднородную среду, более общий случай которой впервые рассмотрен

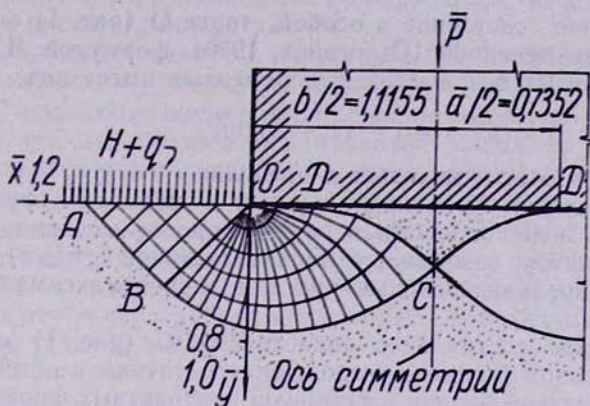


Рис. 1. Характеристики поля напряжений—линии скольжения и жесткие области в пластически неоднородном основании при вертикальном вдавливании жесткого шероховатого штампа;  $\bar{P}=6,007$ .

Նկ. 1. Լարումների դաշտի բնուրագերը՝ սահեցման գծեր և կողմանակուրեն անհամասն հիմքում կողմանությունը շամանի ուղղաձիգ ենթակաման ժամանակ:  $\bar{P}=6,007$ ,

Fig. 1. Stress field characteristics—lines of sliding and rigid areas in a plastically non-homogeneous foundation at the vertical pressing-in of a rigid rough plate;

$$\bar{P}=6,007.$$

А. И. Кузнецовым (1958), показавшим также невозможность линеаризации подобных уравнений. Поэтому решение краевых задач для уравнений (6), вообще говоря, может быть получено только численными методами путем представления уравнений (7) в разностной форме. Исключение составляет решение краевых задач для напряженных состояний, не зависящих от координаты  $x$ , которое может быть получено в замкнутом виде.

Теперь приступим к решению поставленной задачи. Будем полагать, что в области  $AOB$  происходит выпирание грунта (рис. 1) и реализуется максимальное напряженное состояние, не зависящее от координаты  $x$ .

Это напряженное состояние определяется известной формулой (Строганов, 1970), которая в безразмерных переменных принимает вид:

$$(\bar{H}+\bar{\sigma})_+ = (1 + \operatorname{tg}\varphi)(1 + \bar{y}), \quad (8)$$

где  $(\bar{H}+\bar{\sigma})_+ = \frac{(H+q)_+}{H+q}$  — приведенное напряжение;  $\bar{y} = y/l$  — относительная координата рассматриваемой точки;  $l = \frac{H+q}{\gamma}$  — характеристическая длина.

Характеристики в этой области состоят из двух семейств ортогональных прямых, а границей области служит характеристика

$$\bar{x} = \bar{y} \operatorname{ctg} \frac{\pi}{4}, \quad (9)$$

вдоль которой  $\chi=0$ .

Напряженное состояние в особой точке О (рис. 1) определяется несколько видоизмененной (Строганов, 1970) формулой Л. Прандтля, которая в принятых безразмерных переменных имеет вид:

$$\overline{H+\sigma} = 1 + (1 + 2\chi)\operatorname{tg}\rho, \quad (10)$$

причем угол  $\chi$  может изменяться в пределах  $0 \leq \chi \leq \frac{3}{4}\pi$ , поскольку контактная поверхность между грунтом и штампом (фундаментом), вследствие его шероховатости, в случае «проскальзывания» грунта по поверхности штампа совпадает с характеристикой ( $\chi=\frac{3}{4}\pi$ ), являющейся одновременно линией скольжения или линией максимальной скорости сдвига.

Напряженное состояние в области  $BODC$  (рис. 1) определяется численным методом по схеме вырожденного случая и обычной начальной характеристикой задачи с помощью рекуррентных формул, полученных на основе системы уравнений (7), в безразмерных переменных в следующем виде:

$$\overline{x} = \frac{\overline{x}_1 \operatorname{tg}(\chi_1 - \frac{\pi}{4}) - \overline{x}_2 \operatorname{tg}(\chi_2 + \frac{\pi}{4}) - \overline{y}_1 + \overline{y}_2}{\operatorname{tg}(\chi_1 - \frac{\pi}{4}) - \operatorname{tg}(\chi_2 + \frac{\pi}{4})}, \quad (11)$$

$$\overline{y} = (\overline{x} - \overline{x}_1) \operatorname{tg}(\chi_1 - \frac{\pi}{4}) + \overline{y}_1 \text{ или } \overline{y} = (\overline{x} - \overline{x}_2) \operatorname{tg}(\chi_2 + \frac{\pi}{4}) + \overline{y}_2. \quad (12)$$

$$\chi = \overline{\Sigma}_2 - \overline{\Sigma}_1, \quad (13)$$

$$\overline{(H+\sigma)} = 2[(1 + \overline{y}_2)\overline{\Sigma}_1 + (1 + \overline{y}_1)\overline{\Sigma}_2]\operatorname{tg}\rho, \quad (14)$$

$$\left. \begin{aligned} \overline{\Sigma}_1 &= \frac{\overline{(H+\sigma_1)} - 2(1 + \overline{y}_1)\chi_1 \operatorname{tg}\rho - (\overline{x} - \overline{x}_1)\operatorname{tg}\rho + (\overline{y} - \overline{y}_1)}{2[(1 + \overline{y}_1) + (1 + \overline{y}_2)]\operatorname{tg}\rho}, \\ \overline{\Sigma}_2 &= \frac{\overline{(H+\sigma_2)} + 2(1 + \overline{y}_2)\chi_2 \operatorname{tg}\rho + (\overline{x} - \overline{x}_2)\operatorname{tg}\rho + (\overline{y} - \overline{y}_2)}{2[(1 + \overline{y}_1) + (1 + \overline{y}_2)]\operatorname{tg}\rho}. \end{aligned} \right\} \quad (15)$$

Исходными данными для решения этих уравнений служат полученные выше величины на характеристике  $OB$  в особой точке.

Для повышения точности вычислений, как правило, следует находить второе приближение путем последующей подстановки в формулы (11) и (12) вместо  $\chi_1$  и  $\chi_2$  значений  $\overline{\chi}_1 = \frac{1}{2}(\chi + \chi_1)$  и  $\overline{\chi}_2 = \frac{1}{2}(\chi + \chi_2)$  и повторного вычисления значений  $\overline{(H+\sigma)}$  и  $\chi$  по формулам (13) и (14).

Помимо этого, для определения напряженного состояния вдоль контактной поверхности  $OD$ , где имеет место «проскальзывание», необходимо пользоваться рекуррентными формулами смешанной задачи, которые имеют следующий вид:

$$\overline{x} = \overline{x}_1 - \frac{\overline{y}_1}{\operatorname{tg}\left(\frac{\chi_1 + \frac{3}{4}\pi}{2}\right) - \frac{\pi}{4}}, \quad \overline{y} = 0, \quad (16)$$

$$\overline{(H+\sigma)} = \overline{(H+\sigma_1)} + 2(1 + \overline{y}_1)(\frac{3}{4}\pi - \chi_1)\operatorname{tg}\rho - (\overline{x} - \overline{x}_1)\operatorname{tg}\rho - \overline{y}_1, \quad (17)$$

непосредственно получаемый из указанной системы уравнений. Реали-

зация приведенного алгоритма может быть осуществлена посредством приводимой в приложении программы.

Численное интегрирование в области  $BODC$ , вообще говоря, ничем пока не ограничено, поскольку не ограничены длины отрезков  $OB$  и  $OD$ . Однако, поскольку штамп имеет ограниченную ширину  $\bar{b}$ , то на продолжении его оси симметрии в пределах основания должны быть выполнены определенные граничные условия, которые сводятся к тому, чтобы  $\gamma = \pi/2$ , а значения  $(H + \sigma)$  справа и слева оси симметрии были равны. Следовательно, интегрирование в области  $BODC$  должно быть ограничено такими линиями скольжения, которые при пересечении на оси симметрии — в точке  $C$  удовлетворят указанным условиям. Практически найти эту точку удобнее всего линейной интерполяцией на оси симметрии при условии, когда поле характеристик несколько продолжено за пределы предполагаемого в процессе численного интегрирования. Далее координаты точек  $B$  и  $D$ , а также характеристики  $BC$  и  $DC$ , ограничивающие пластическую область, могут быть найдены, например, численным интегрированием по рекурентным формулам (11) — (15), так сказать, в обратном направлении от точки  $C$ . Одновременно с этим будут получены значения  $(H + \sigma)$  и  $\gamma$  вдоль характеристики  $DC$ .

Совершенно очевидно, что область  $DCD$  будет жесткой, т. е. не будет находиться в пластическом состоянии, ибо для распространения пластической области за пределы характеристики  $DC$  необходимо большее значение  $(H + \sigma)$  с противоположной стороны оси симметрии, в то время как имеет место очевидное равенство этих напряжений. На основании тех же соображений область  $ABCBA$  будет также жесткой.

Для определения несущей способности основания достаточно вычислить значения вертикального приведенного напряжения  $(H + \sigma_y)$  вдоль участка «проскальзываания»  $OD$  и вдоль характеристики  $DC$  по формуле

$$(H + \sigma_y) = (H + \sigma) - (1 + \bar{y}) \operatorname{tg} \gamma \cos 2\gamma \quad (18)$$

и проинтегрировать в пределах ширины  $(\bar{b})$  штампа, вычтя затем собственный вес жесткого ядра и силу гидростатического давления, эквивалентного начальному сцеплению.

Тогда получим

$$\bar{P} = 2 \int_0^{\frac{\bar{b}}{2}} (\bar{H} + \sigma_y) d\bar{x} - 2 \int_{\frac{\bar{b}-a}{2}}^{\frac{\bar{b}}{2}} \bar{u}_y d\bar{x} - \bar{H} \bar{b}, \quad (19)$$

где  $\bar{u}_y$  — ординаты поверхности жесткого ядра,

Ясно, что абсолютная величина предельного давления, например, вдоль поверхности  $ODC$ , может быть получена умножением на  $(H + q)$  ординат эпюры (18), а все линейные размеры сетки характеристик и, следовательно, всей области пластического течения должны быть умножены на  $l = (H + q)/\gamma$ , т. е. на характеристическую длину. Абсолютная величина несущей способности основания может быть выражена так:

$$P = \frac{(H + q)^2}{\gamma} \bar{P}, \quad (20)$$

где безразмерная величина несущей способности  $\bar{P}$  определяется в со-

ответствии с (19) численным интегрированием, например, методом трапеций.

В качестве примера решена задача (рис. 1) о несущей способности основания, угол внутреннего трения которого принят равным  $\varphi = 18^\circ 54'$  ( $\operatorname{tg} \varphi = 0,342$ ), чем характеризуется степень неоднородности основания. Безразмерная величина гидростатического давления, эквивалентного начальному сцеплению, принята равной  $\bar{H}=1$ , причем пригрузка отсутствует ( $q=0$ ). В результате численного решения задачи для штампа полуширины  $\bar{b}/2=1,1155$  в основании получена сетка характеристик (рис. 1), очертание жесткого ядра, напряженное состояние в каждом узле указанной сетки и соответствующие величины (табл. 1) вертикального приведенного напряжения ( $\bar{H}+\sigma_y$ ) на контактной поверхности и поверхности жесткого ядра.

Таблица 1

Величины вертикального приведенного напряжения на контактной поверхности штампа и поверхности жесткого ядра

$\bar{x}$	$\bar{y}$	$\bar{H}+\sigma$	$\gamma$	$\bar{H}+\sigma_y$
+0,0000	0,0000	2,9536	2,3562	2,9536
-0,1661	0,0000	3,2432	2,3562	3,2432
-0,3803	0,0000	3,5449	2,3562	3,5449
-0,6368	0,0458	3,6929	2,0486	3,8903
-0,8928	0,1691	3,9170	1,7853	4,2279
-1,1155	0,3513	4,1948	1,5705	4,5368

На основании этих данных и выражения (19) получена безразмерная величина несущей способности  $\bar{P}=6,007$ , соответствующая относительной ширине штампа  $\bar{b}=2,2310$ , что дает среднюю безразмерную величину вертикального напряжения  $\sigma_y = \bar{P}/\bar{b} = 2,693$  на контактной поверхности штампа.

В заключение следует заметить, что в зависимости от размеров штампа длина участка «проскальзывания»  $OD$  может меняться в широких пределах, причем уменьшение размеров штампа приводит даже к его исчезновению, как это имеет место в классической задаче Л. Прандтля (Качанов, 1969) при вдавливании жесткого шероховатого штампа в идеально пластическую среду.

### ПРОГРАММА

вычислений по рекуррентным формулам (11)–(17) для ЭВМ «НАИРИ»

1. допустим  $m=1$   $j=15$ ; 2. введем  $l$ ; 3. допустим  $i=1$   $k=0$   $m_k=0$ ;
4. вычислим  $e_k=e_k+0,1$ ; 5. вычислим  $p_k=p_k+0,1342$ ; 6. вычислим  $l_k=e_k$ ;
7. печатаем с 5 знаками  $m$   $l_k$   $p_k$ ; 8. допустим  $\delta=1$   $y=0$   $z=0,785398$ ;
9. вычислим  $t=tg((m_k+y)/n-z)$ ; 10. вычислим  $s=tg((m_1-y)/n-z)$ ;
11. вычислим  $w=(e_k-l_s-s-l_k+l_1)/(t-s)$ ; 12. спросим; 13. вычислим  $s=(w-e_k)t-l_k$ ;
14. вычислим  $n=2l/(2+l_1+l_k)$ ; 15. вычислим  $t=(p_k-2lm_k(l+l_k)-(w-e_k)l-s-l_1)/n$ ;
16. вычислим  $g=(p_1+2lm_1(l+l_1)+(w-e_1)l+s-l_1)/n$ ;
17. вычислим  $n=2l((l+l_1)+(l+l_k)g)$ ; 18. вычислим  $y=g-t$ ;
19. вставим  $\delta=\delta+1$ ; 20. спросим; 21. если  $\delta < 2,1$  идти к 9;
22. печатаем с 5 знаками  $w$   $s$   $y$ ; 23. вставим  $i=i+1$   $k=k+1$ ;
24. допустим  $e_k=w$   $l_1=s$   $p_k=n$   $m_1=y$ ; 25. если  $i < j$  идти к 8;
26. допустим  $l_i=0$   $m_i=2,3262$ ; 27. вычислим  $e_i=e_k-l_k/(tg((m_k+3z)/2-z))$ ;
28. вычисли  $p_{i-1}=p_i-2l((l+l_1)(3z-m_i))-l(e_i-e_k)-l_k$ ;
29. печатаем с 5 знаками  $e_i$   $p_i$ ; 30. вставим  $m=m+1$   $j=j+1$ ; 31. идти к 3.

## ОБОЗНАЧЕНИЯ, ПРИНЯТЫЕ В ПРОГРАММЕ

*M*—номер горизонтальной строки; *j*—*max* номер столбца в каждой строке без диагонального; первоначально—количество исходных данных; в данном случае *j*=15; *λ*=*tgp*, *z*= $\pi/4$ ; *l*—индексация, совпадающая со вторым направлением; *k*—то же с первым направлением;

*m<sub>k</sub>*=*w*—*γ*, *e<sub>k</sub>*=*w*—*x*, *l<sub>k</sub>*=*s*—*y*, *p<sub>k</sub>*=*H*—*z*, где *w*, *s*, *H*, *y*—буквы, используемые для первого и второго приближений, их количество регулируется *δ*;

(*N*—1)—*max* номер столбца в последней строке вычислений.

После ввода программы необходимо сделать некоторые исправления:

1. Надо исправить 22 оператор. В режиме «выдача памяти» вывести на печать ( $68+22=90$ ) 90 *m*; полученные числа будут начальным [*A*] и конечным [*B*] номерами программы печати. В режиме команд ввести следующие команды:

<i>Ak nn52H5</i>	<i>0227OH</i>	<i>nn53H5</i>	<i>0227OH</i>
<i>nn40H5</i>	<i>0227OH</i>	<i>nn55H5</i>	<i>02274H</i> и <i>Bn w</i> ,

2. Для ввода исходной информации необходимо в режиме «выдача памяти» вывести начальные номера ячеек, в которых записываются массивы *x<sub>j</sub>*, *y<sub>j</sub>*, *z<sub>j</sub>*, [*E*, *L*, *P*, *M*], т.е. 48 *m*. В режиме ввода чисел с плавающей запятой вводятся построчно массивы: *En*—*x<sub>j</sub>*; *Ln*—*y<sub>j</sub>*, *Pn*—*z<sub>j</sub>*, *Mn*—*ε<sub>j</sub>*.

**ԿԱՐԵՐ ԽՈՐԴՈՒԹՅՈՒՆ ՍԱՀԻ ՈՒՂՂԱՁԻԳ ՆԵՐՄԴՈՒՄԸ ՊԼԱՍՏԻԿՈՐԵՆ  
ԱՆՀԱՄԱՍԵՌ ԳՐՈՒՏՏԻ ՄԵՋ  
ՏԵԽԵ. գիտ. դոկտոր, ԱՅԵՔՍԵՅ ՍՏՐՈԳԱՆՈՎ**

ՈՒժեղամ. Տրվում է պլաստիկության տեսության խնդրի մի թվային լուծում, որը վերաբերում է չկայունացած վիճակում գտնվող պլաստիկապես անհամասեռ գրունտի կրողականությանը, եթե վերջինին մեջ ուղղաձիգ ներմզվում է կարծր խորդուրորդ սալ: Այդ տեղի է ունենում կոնսոլիդացման գործակցի ցածր նշանակություն ունեցող կավերի, տիգմերի և տորֆերի վրա տեղադրած հիմքերի բավականին արագ բեռնավորման գեպքում:

## VERTICAL PRESSING-IN OF A RIGID ROUGH PLATE INTO A PLASTICALLY NON-HOMOGENEOUS SOIL

ALEXEY S. STROGANOV<sup>1</sup>, Dr. Sc. (Eng.)

**S Y N O P S I S.** The paper deals with the numerical solution of the problem of plasticity theory concerning the bearing capacity of the plastically non-homogeneous soil in an unstabilized state under a rigid rough plate by vertical pressing-in. This takes place at a sufficiently quick loading of foundations on clays, silts and peats with low values of the coefficient of consolidation.

### ԳՐԱԿԱՆՈՒԹՅՈՒՆ—ԼԻՏԵՐԱՏՈՒՐԱ—REFERENCES

- Качанов Л. М., 1969. Основы теории пластичности. Изд. «Наука».  
 Кузнецов А. И., 1958. Плоская деформация неоднородных пластических тел. Вестник Ленинградского университета, № 13, 112—131.  
 Соколовский В. В., 1960. Статистика сыпучей среды. Физматгиз.  
 Строганов А. С., 1965. Анализ плоской пластической деформации грунта. «Инженерный журнал» АН СССР, том. I, вып. 4, М.  
 Строганов А. С., 1970. Несущая способность оснований в нестабилизированном состоянии. Сб. «Строительство на слабых грунтах», Изд. Рижского политехнического института, Рига.  
 Cadilind L. and Odenstad S., 1950. The vane borer. Proc. Roy. Swed. Geotech. Inst. No. 2.  
 Sorokina G. Y. and Stroganov A. S., 1971. The strength of clay soils dependent on time factor. Proc. Fourth Asian Regional Conf. Soil Mech. Found. Engng., Bangkok, Thailand, v. I.

<sup>1</sup> Հիմքերի և ստորերկրյա կառուցվածքների գիտահետազոտական խստիտուտի ավագ գիտաշխատող, Մոսկվա:

<sup>1</sup> Senior Researcher, Research Institute of Foundations and Underground Structures Moscow.